

数字信号处理 大作业

2024秋季学期

姓名：陈彦旭

班级：无24

Task 1

介绍所使用的 SFFT 算法的原理与流程，画出稀疏信号的频谱真值与 SFFT 所得频谱的对比图。

选取“哈希映射法”（文献 Ref 1）。

符号说明： N 为信号长度， K 为信号频谱稀疏度， B 为分“筐”数， d 为循环时用到的参数， L 为循环估计的次数。

Step 1: 频谱重排

实际中的稀疏信号大多频点较为集中，为了保证频域“分筐”的时候以极大概率将不同大值频点装入不同的筐中，需要对信号进行重排，将原本集中的大值频点分散开。利用 DFT 的循环位移性质和缩放性质，在时域对信号进行等价的操作。选取随机参数 σ, τ ，进行缩放+位移：

$$p[n] = x[((\sigma n + \tau))_N] \quad (1)$$

等价于频域有：

$$P[((\sigma k))_N] = X[k] W_N^{-\tau k} \quad (2)$$

Step 2: 窗函数滤波

矩形窗函数时域为 sinc 序列，无限长，需要做截断操作，但是截断导致频域的通带和阻带变大。可以选取高斯窗函数与之时域相乘，具有平滑效果。

构造平坦的窗函数 $g[n]$ 及其频谱 $G[k]$ ，然后与信号时域相乘：

$$y[n] = p[n] \cdot g[n] \quad (3)$$

频域为两个信号频谱的循环卷积：

$$Y[k] = P[k] \circledast G[k] \quad (4)$$

由于 $P[k]$ 只在少数频点上有大值，可以看作若干不同幅度的 $\delta[k]$ 叠加，因此频谱 $Y[k]$ 近似为若干不同位置上的窗函数的叠加，且不同窗函数之间有重叠的概率较低。

Step 3: 降采样

对信号 $y[n]$ 时域混叠：

$$z[n] = \sum_{j=0}^{N/B-1} y[n + Bj], \quad n = 0, \dots, N-1 \quad (5)$$

对 $z[n]$ 做 B 点 FFT，结果实际上是对频谱 $Y[k]$ 降采样，降采样率为 N/B ：

$$Z[k] = Y[k \frac{N}{B}], k = 0, \dots, B-1 \quad (6)$$

也就是将连续的 N/B 个频点装入一个筐中，一共得到 B 个筐。

Step 4: 重构恢复

取出 $Z[k]$ 中幅度最大的 dK 个频点对应的坐标组成集合 J ，集合 J 是以 $z[k]$ 幅值为观测域得到的大值频点的坐标集合，每一个坐标都是一个筐，筐中装有 N/B 个频点。通过哈希函数关系可以将 J 映射回以 $X[k]$ 为观测域的大值频点的“原像”，得到集合 I ，因此集合 $I = \{k \in [0, N-1] | h_\sigma(k) \in J\}$ ，大小为 dKN/B 。

其中哈希函数的正确定义应该是（参考文献中并没有正确的表示出循环位移中“模”的关系，否则哈希函数将是单调增长的，不可能从 $[0, N-1]$ 映射到 $[0, B-1]$ ）：

$$h_\sigma(k) = \text{mod}(\text{round}(\text{mod}(\sigma * k, N) * B/N), B), k = 0, \dots, N-1 \quad (7)$$

```
1 hash_sigma = mod(round(mod(sigma * (0:N - 1), N) * B / N), B) + 1;
```

对于集合 J 中的每一个原像频点 k ，需要除以窗函数滤波器的增益，估计其原本的幅度值。

$$\hat{X}[k] = Z[h_\sigma(k)] W_N^{\tau k} / G[o_\sigma(k)] \quad (8)$$

所使用的偏移量函数 $o_\sigma(k)$ 将 $[0, N-1]$ 映射到 $[-N/2B, N/2B-1]$ ，如果加上模 N 的话，就是映射到 $[0, N/2B-1], [N - N/2B, N-1]$ ，这样能够直接作为数组的索引：

$$o_\sigma(k) = \text{mod}(\sigma k - \text{round}(\sigma k B/N) * N/B, N) \quad (9)$$

```
1 offset_sigma = mod(sigma * (0:N - 1) - round(sigma * (0:N - 1) * B / N) * N / B, N) + 1;
```

经过上述一次操作之后得到集合 I 和其对应坐标估计的幅度值。循环操作 L 次后，所有的集合 I 组成大小为 $L \times dKN/B$ 的矩阵，找出其中出现次数超过 $L/2$ 的频点坐标（或者出现次数最多的 K 个频点的坐标），作为最终所求的原始大值频点的坐标，将其在循环中出现的所有幅度值的中位数作为最终所估计的频率值。

基于上述算法，编写 MATLAB 代码如下：

```
1 % 稀疏傅里叶变换SFT
2
3 function x_hat = sft(x_n, N, K, B, L, d, w)
4     % 参数:
5     % x_n: 时域信号, 大小[1,N]
6     % N: 信号长度
7     % K: 频谱稀疏度
8     % B: 分筐的个数
9     % L: 循环次数
10    % d: 定位循环用到的参数
11    % w: 窗函数的截断长度
12    % 返回:
13    % x_hat: 估计的频域信号, 大小[1,N]
14
```

```

15     if mod(N, B) ~= 0
16         error('error! B should divide N.');
```

```

17     end
18
19     % 准备平坦窗函数g[n]
20     rec_win = zeros(1, N);
21     rec_win(1:W) = sinc(((0:W - 1) - W / 2) / B) / B;
22     gauss_win = zeros(1, N);
23     std_dev = B * log2(N); % 高斯窗的标准差
24     gauss_win(1:W) = exp(- ((0:W - 1) - W / 2) .^ 2 / (2 * std_dev ^ 2));
25     g_n = rec_win .* gauss_win;
26     g_n = g_n ./ max(abs(g_n));
27     G_k = fft(g_n);
28
29     X_r = zeros(L, N); % 存储每次循环的估计值
30     X_hat = zeros(1, N);
31
32     for loop_cnt = 1:L
33         % 生成随机参数sigma,tau
34         % sigma为奇数, 与N互素
35         sigma = 2 * randi([0, N / 2 - 1]) + 1;
36         tau = randi([1, N]);
37
38         % 频谱随机重排
39         p_n = x_n(mod(sigma * (0:N - 1) + tau, N) + 1); % 缩放平移
40         y_n = p_n .* g_n; % 与窗函数时域相乘
41
42         % 降采样FFT
43         z_n = sum(reshape(y_n, B, []), 2);
44         z_n = transpose(z_n);
45         Z_k = fft(z_n, B);
46
47         % 按幅度排序取出最大的d*K个
48         [~, J] = sort(abs(Z_k), 'descend');
49         J = J(1:d * K);
50
51         % hash_sigma:[1,N]-->[1,B]
52         hash_sigma = mod(round(mod(sigma * (0:N - 1), N) * B / N), B) + 1;
53         % offset_sigma:[1,N]-->[1,N/2B], [N-N/2B-1,N]
54         offset_sigma = mod(sigma * (0:N - 1) - round(sigma * (0:N - 1) * B /
55 N) * N / B, N) + 1;
56
57         % J的原像坐标集合I_r
58         I_r = find(ismember(hash_sigma, J));
59         % 估计幅度
60         X_r(loop_cnt, I_r) = Z_k(hash_sigma(I_r)) .* exp(1j * 2 * pi * tau *
61 (I_r - 1) / N) ./ G_k(offset_sigma(I_r));
62
63     end
64
65     % 找出出现次数大于L/2的频点坐标
66     % nonzero_freq = find(sum(X_r ~= 0) > L / 2);
67
68     % 找出出现次数最多的K个频点坐标
69     [~, nonzero_freq] = sort(sum(X_r ~= 0), 'descend');
70     nonzero_freq = nonzero_freq(1:K);

```

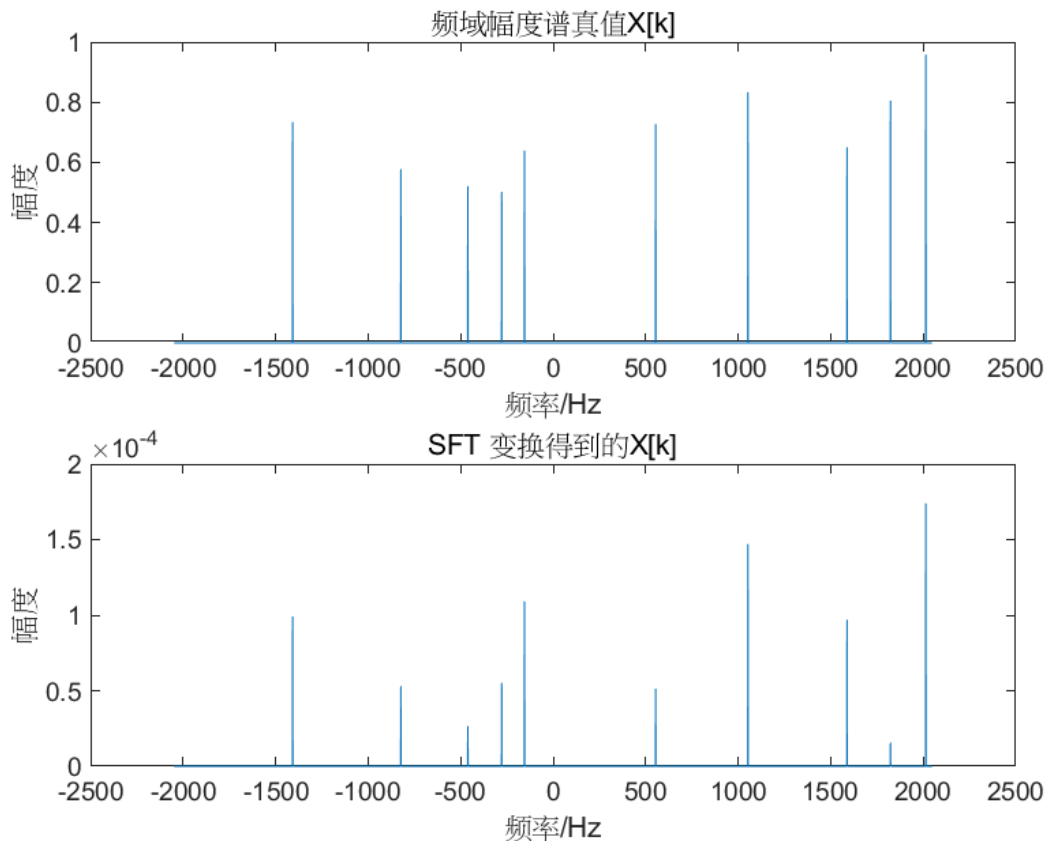
```

69
70     for freq = nonzero_freq
71         re = median(real(X_r(:, freq)));
72         im = median(imag(X_r(:, freq)));
73         x_hat(freq) = re + 1j * im;
74     end
75
76 end

```

仿真验证

设定实验参数为： $N = 4096$, $K = 10$, $d = 4$ 。运行结果如下：



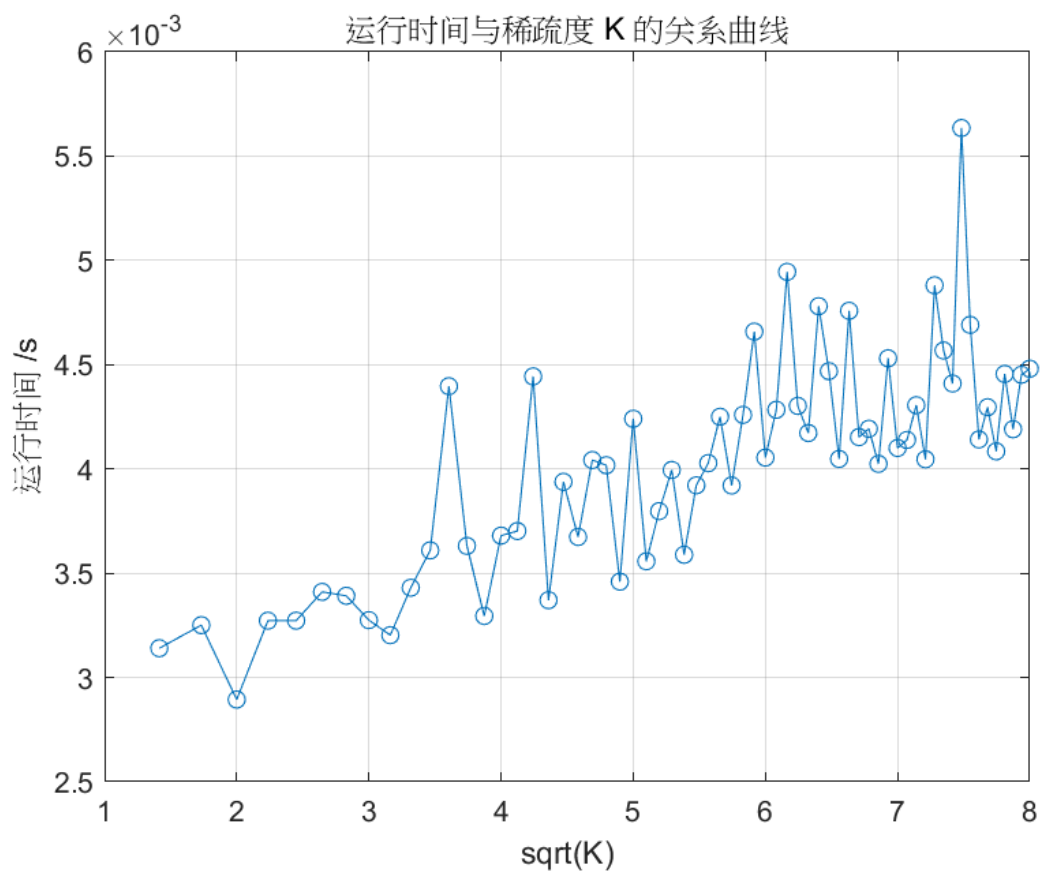
可见 SFT 算法较为准确地找出了所有稀疏的频点。幅值较小，相对大小不一致，可能是因为丢弃了大部分原始序列中的点，降采样操作也会造成能量损失。

Task 2

以 $O(f(n, k))$ 的形式给出所使用的 SFFT 算法运行的时间复杂度。分别画出 SFFT 运行时间随信号长度 N 以及信号频谱稀疏度 k 变化的关系图，利用关系图验证你的推测。

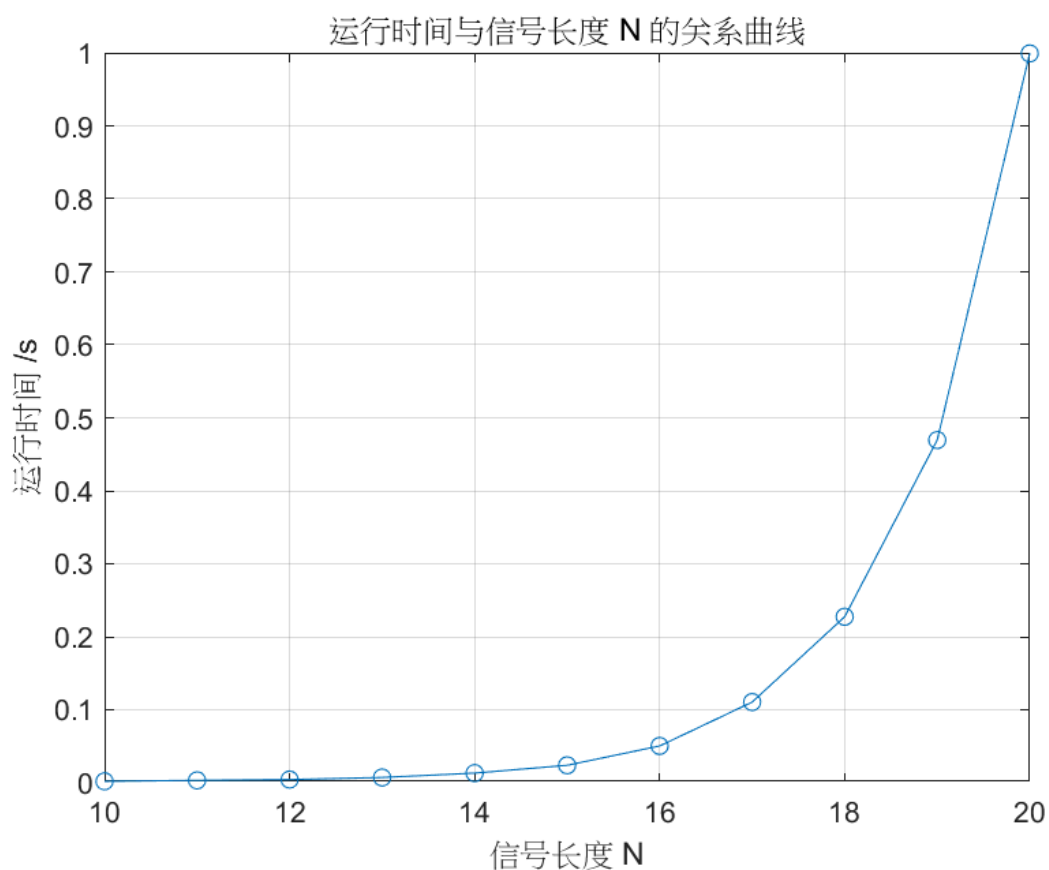
根据参考文献 Ref 2 的推导，SFFT 算法的复杂度约为 $O(\log_2 n \sqrt{nk \log_2 n})$ ， n 为信号长度且为 2 的次幂， k 为频域的稀疏度。

控制信号长度 n 不变时，运行时间约为正比于 \sqrt{k} ，仿真得到：

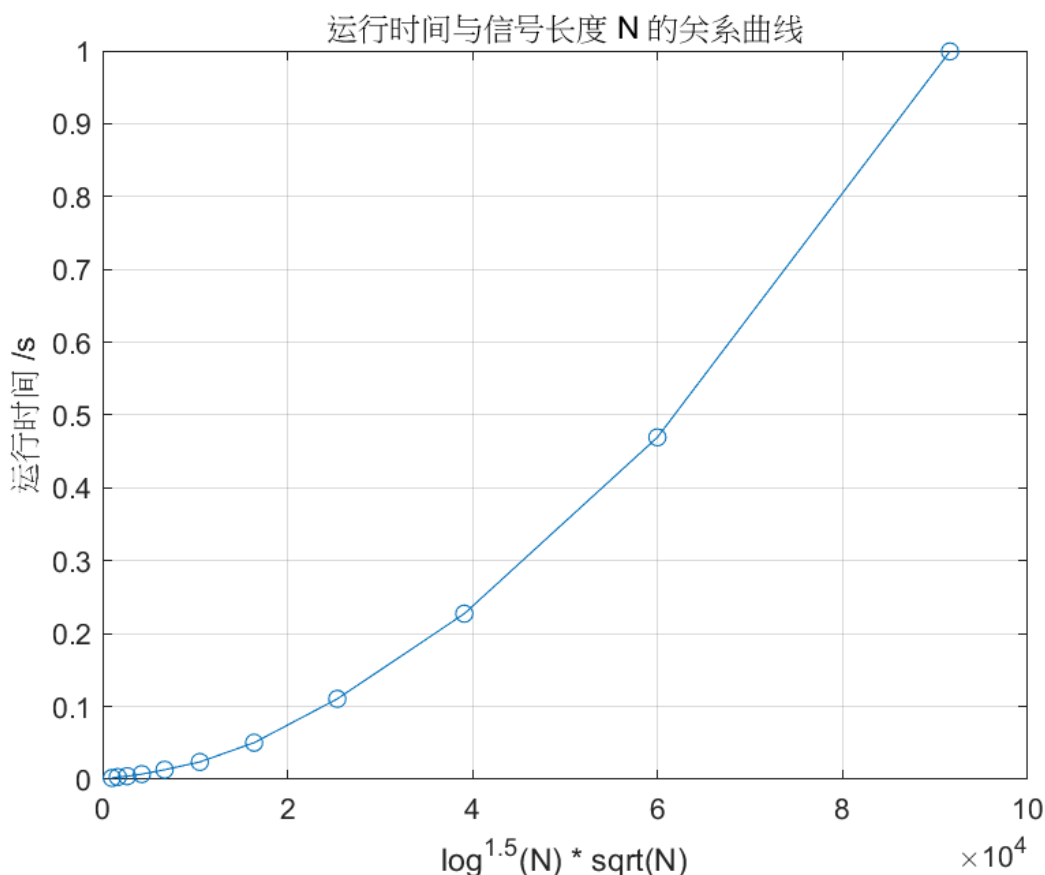


上图中横坐标为 \sqrt{k} 。可见随着稀疏度变化，算法的运行时间波动很大，但总体上还是随着稀疏度的增长而增长的。

控制稀疏度 k 不变时，运行时间约为正比于 $\log_2 n \sqrt{n \log_2 n}$ ，若令 $x = \log_2 n$ ，则复杂度约为 $2^{\frac{x}{2}} x^{\frac{3}{2}}$ ，比指数增长略快。以 x 为横坐标，得到图像：



若以 $\log_2 n \sqrt{n \log_2 n}$ 为横坐标, 得到:



比线性增长略快, 但是几乎在 $O(\log_2 n \sqrt{n \log_2 n})$ 范围之内。

Task 3

介绍所选择压缩感知算法的流程、原理。探究至少两种因素对 SFFT 算法与压缩感知算法性能的影响, 分别画出使用两种算法得到的信号频谱估计的 l_1 误差与所选择的因素之间的关系图。对比使用两种算法得到的关系图, 并尝试对所得结果加以解释。

奈奎斯特采样定理告诉我们, 要从采样之后的数字信号中无失真恢复出原始信号, 采样频率必须大于原始信号中最高频率的两倍。但是如果信号是稀疏的, 那么可以由远低于采样定理要求的频率采样和恢复。

如果使用随机亚采样, 频域不再是以固定周期延拓, 而是出现大量近似均匀分布的干扰值, 这些干扰值是由原始信号中各个频点的非零值泄漏导致的, 可以使用特别的追踪算法恢复出原信号。压缩感知的前提: 信号稀疏, 使用随机亚采样。

$$y = \Phi \Psi s = \Phi x = \Theta s \quad (10)$$

其中 x 为原信号, y 为采样结果, Φ 为观测矩阵, 对应随机亚采样方式, Ψ 为变换矩阵 (对应 IDFT), s 为信号的稀疏表示 (对应频谱), $\Theta = \Phi \Psi$ 为感知矩阵。观测矩阵应满足约束等距条件 (RIP), RIP 的等价条件是观测矩阵和稀疏表示基不相关。独立同分布的高斯随机测量矩阵可以作为普适的压缩感知测量矩阵。

重建过程也就是求解欠定方程 $y = \Theta s$ 的问题, 使得 0-范数 (非零元素个数) 最小化, 即 $\min \|\hat{x}\|_0$ 。

正交匹配追踪算法 (OMP) 是一种贪婪算法, 通过迭代中每次选择与当前残差最相关的字典元素, 并通过正交投影逐步逼近真实信号。算法过程如下:

Step 1

输入观测矩阵 $A \in \mathbb{R}^{M \times N}$ ，观测信号 $y \in \mathbb{R}^{M \times 1}$ ，稀疏度 *sparsity*。由于我们希望得到的是信号的频谱而不是信号本身，因此这里输入的是观测矩阵实际上是高斯随机测量矩阵和 IDFT 矩阵的乘积。

Step 2

初始化残差为 $r_0 = y$ ，索引集 $S_0 = \emptyset$ ，复原信号 $\hat{x}_0 = \mathbf{0}_{N \times 1}$ 。

Step 3

迭代过程，对于每一次迭代 k ：

1. 首先选择与当前残差最相关的字典元素，计算：

$$i_k = \arg \max_{i \notin S_{k-1}} |A_i^T r_{k-1}| \quad (11)$$

2. 将索引 i_k 加入到支持集中：

$$S_k = S_{k-1} \cup \{i_k\} \quad (12)$$

3. 在当前的索引集上，通过最小二乘法求解向量 x_k ：

$$\begin{aligned} x_k(i \in S_k) &= \arg \min_x \|y - A_{S_k} x\|_2 \\ x_k(i \notin S_k) &= 0 \end{aligned} \quad (13)$$

4. 更新残差：

$$r_k = y - A_{S_k} x_k \quad (14)$$

重复 Step3 进行迭代，迭代终止条件：残差的范数小于预设阈值或者达到最大迭代次数（或者达到需要取出的频点数目）。

基于上述算法编写，编写 MATLAB 代码如下：

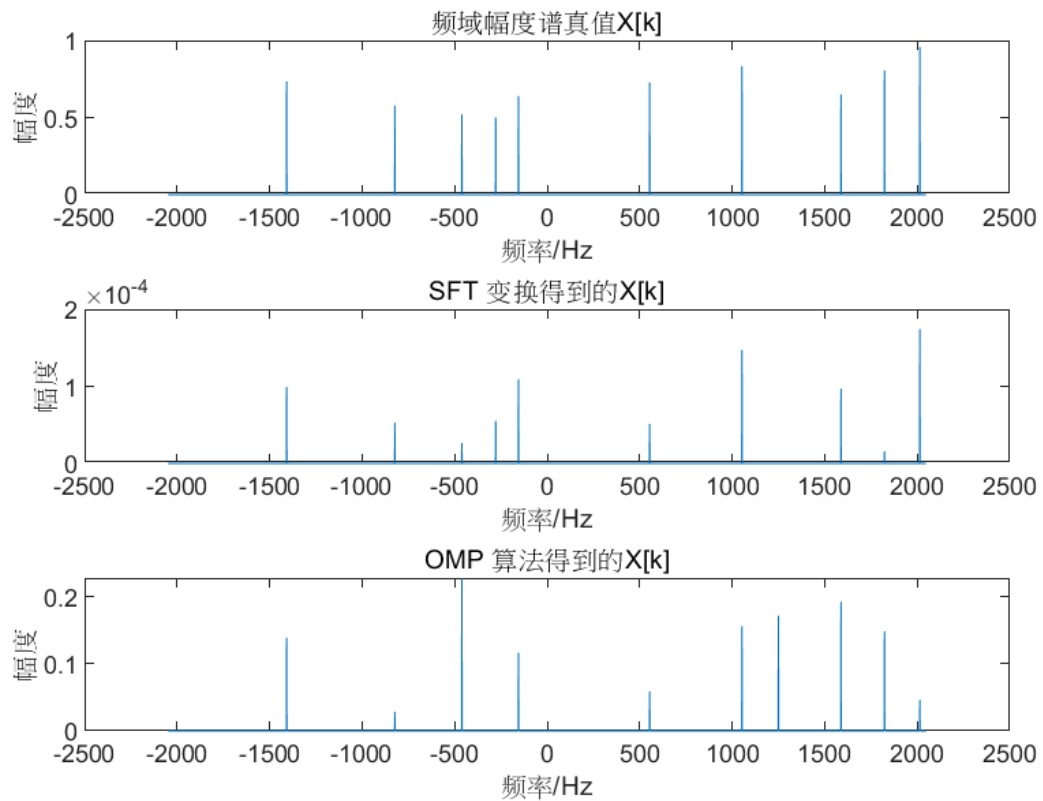
```
1 function x_hat = omp(y, measure_mtx, trans_mtx, sparsity)
2     % 参数：
3     % y: 观测信号，大小[M,1]
4     % measure_mtx: 测量矩阵，大小[M,N]
5     % trans_mtx: 变换矩阵，大小[N,N]
6     % sparsity: 稀疏度
7     % 返回：
8     % x_hat: 估计信号，大小[N,1]
9
10    sensing_mtx = measure_mtx * trans_mtx; % 感知矩阵
11    [~, N] = size(sensing_mtx);
12    x_hat = zeros(N, 1);
13    residual = y; % 初始化残差r=y
14    index = []; % 初始化索引集合S
15    threshold = 1e-6; % 设置阈值
16
17    for cnt = 1:sparsity
18        correlations = abs(sensing_mtx.' * residual);
19        correlations(index) = -inf;
20        [~, i_k] = max(correlations);
21        index = [index, i_k];
22        x_hat(index) = pinv(sensing_mtx(:, index)) * y;
```

```

23     residual = y - sensing_mtx * x_hat;
24
25     if norm(residual) < threshold
26         break;
27     end
28
29 end
30
31 end

```

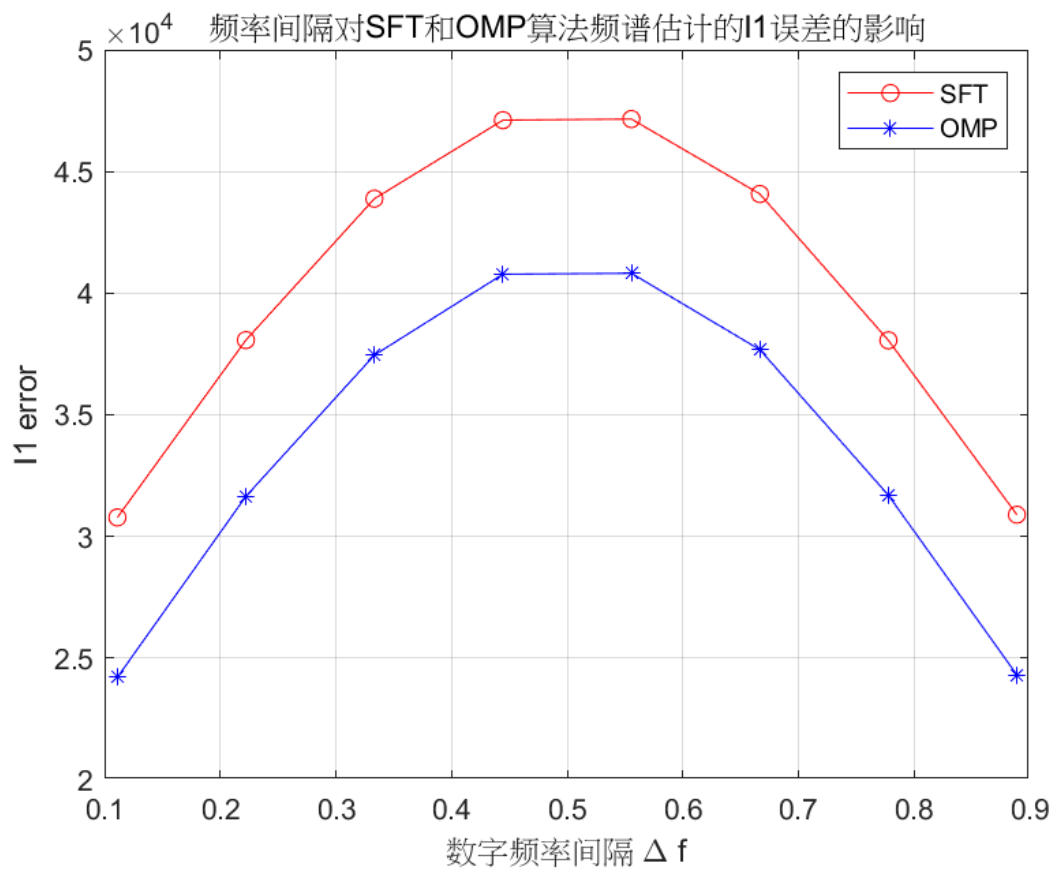
生成频域稀疏信号，分别使用 SFT 算法和 OMP 算法，得到信号的频谱，对比如下：



与 SFT 算法相比，OMP 算法遗漏了原频谱中的一个频点，错误地找出了一个原本不存在的频点，但整体效果还是不错的。

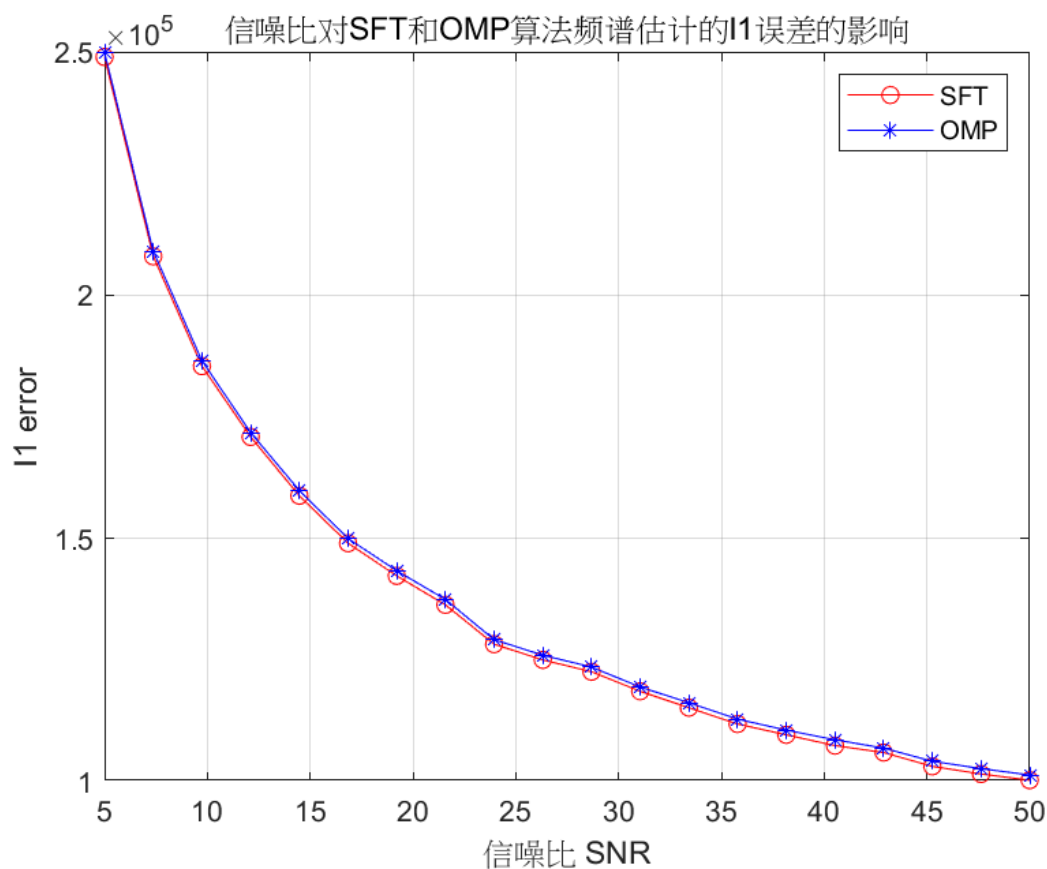
生成稀疏度为 2 的信号，并加上复高斯噪声。

其他因素不变时，两个频率分量的频率间隔对 SFT 和 OMP 算法频谱估计的 l_1 误差的影响：



在上图中，频率间隔为 0.5 左右时误差达到最大，增大或减小频率间隔时误差都将减小。我设置的第一个频率为 0.5 为高频，频率间隔为 0.5 意味着第二个数字频率在 0 频附近。频率间隔接近 0 或 1 意味着第二个数字频率也在 ± 0.5 的高频附近，此时误差较小。原因可能是两个信号频率较为接近时，能量能量更为集中，抗噪声干扰能力强，因此算法能够更准确地排除干扰并找出原有频率分量。

其他因素不变时，信噪比对 SFT 和 OMP 算法频谱估计的 l_1 误差的影响：



结果是在意料之中的，信噪比越大，噪声功率越小，造成额外干扰的频率分量的幅度越小，能够让 SFT 算法和 OMP 算法更精准地找出原本稀疏的频率分量。

文件清单

| | | |
|----|---------------|------------------------------------|
| 1 | . | |
| 2 | -- exp1.m | 实验1：实现SFT算法 |
| 3 | -- exp2_1.m | 实验2-1：SFT算法运行时间与K的关系 |
| 4 | -- exp2_2.m | 实验2-2：SFT算法运行时间与N的关系 |
| 5 | -- exp3_1.m | 实验3-1：实现OMP算法，与SFT算法对比 |
| 6 | -- exp3_2.m | 实验3-2：探究频率间隔对SFT和OMP算法频谱估计的l1误差的影响 |
| 7 | -- exp3_3.m | 实验3-3：探究信噪比对SFT和OMP算法频谱估计的l1误差的影响 |
| 8 | -- omp.m | 压缩感知OMP算法 |
| 9 | -- report.pdf | 实验报告 |
| 10 | -- sft.m | 稀疏傅里叶变换SFT |

参考文献：

文档中 Ref1, Ref2, Ref5。

[1]李非凡.稀疏傅里叶变换算法的硬件实现[D].东南大学,2023.DOI:10.27014/d.cnki.gdnau.2023.000766.